

РАНГИ ПЛАНАРНОСТИ ПОЛУГРУППОВЫХ
МНОГООБРАЗИЙ, ПОРОЖДЕННЫХ
ПОЛУГРУППАМИ ТРЕТЬЕГО ПОРЯДКА.

Д.В. СОЛОМАТИН 

Представлено АВТОРОМ

Abstract: In this paper, we calculate the planarity rank of the variety generated by all semigroups of order three and calculate the planarity ranks of its subvarieties generated by each semigroups of order three.

Keywords: Cayley graph, planarity rank, semigroup.

1 Введение

Изучение полугрупп малых порядков может быть полезно по нескольким причинам:

1) Основы алгебры: Полугруппы являются одной из важнейших структур в алгебре. Они представляют собой множество с заданной на нем ассоциативной бинарной операцией. Изучение полугрупп помогает понять основные алгебраические структуры и операции.

2) Изучение свойств: Полугруппы малых порядков могут быть полезны для изучения свойств полугрупп в целом. Они могут служить примерами или контрпримерами для различных свойств и теорем.

SOLOMATIN, D.V., PLANARITY RANKS OF SEMIGROUP VARIETIES GENERATED BY ALL SEMIGROUPS OF ORDER THREE.

© 2024 Соломатин Д.В.

Работа поддержана ОмГПУ.

Поступила 22 июля 2024 г., опубликована XX XXX 20XX г.

3) Приложения: Полугруппы находят применение в различных областях, включая теорию кодирования, теорию автоматов и дискретную математику.

4) Теоретические исследования: Изучение полугрупп малых порядков может привести к открытию новых теоретических результатов в области алгебры.

5) Обучение и образование: Полугруппы малых порядков могут быть полезны в образовательных целях, помогая студентам лучше понять и визуализировать абстрактные алгебраические концепции.

Важно отметить, что конкретная цель изучения полугрупп малых порядков может зависеть от контекста и интересов исследователя. Более подробно в [1] приводится мотивация изучения полугрупп, там же перечислены все полугруппы до четвертого порядка включительно. В [2] развернуто описываются полугрупповые многообразия, порожденные полугруппами третьего порядка. Обозначим через \mathbf{S}_n многообразие, порожденное всеми полугруппами порядка n . В настоящей статье вычислен ранг планарности многообразия \mathbf{S}_3 и вычислены ранги планарности его подмногообразий, порождаемых каждой из полугрупп третьего порядка.

2 Предварительные сведения

Правым графом Кэли полугруппы S относительно множества X образующих её элементов, или просто графом Кэли, называем ориентированный мультиграф с помеченными ребрами, множество вершин которого совпадает с S , а всякая его дуга начинается в вершине a , заканчивается в вершине b и помечена элементом x тогда и только тогда, когда найдется такой x из X , что в полугруппе S имеет место равенство $ax = b$. Левый граф Кэли определяется аналогично с тем лишь отличием, что вершина a соединена с вершиной b дугой, начинающейся в вершине a , заканчивающейся в вершине b и помеченной элементом x , тогда и только тогда, когда в полугруппе S имеет место равенство $xa = b$. В связи со сказанным в определении основная проблема, которую предстоит решать при построении графов Кэли полугрупп, это проблема равенства слов, алгоритмически неразрешимая в общем случае. Для решения вопроса планарности графа Кэли полугруппы будем рассматривать граф Кэли относительно минимального множества неразложимых образующих полугруппы и говорить, что полугруппа допускает планарный граф Кэли, если существует такое минимальное множество неразложимых образующих, относительно которого основа графа Кэли является планарным графом.

Напомним, что основой $SCay(S, X)$ графа Кэли $Cay(S, X)$ полугруппы S относительно минимального множества образующих X называем обыкновенный граф, полученный из исходного графа путём удаления меток, петель, ориентации дуг и кратных ребер.

Свободную n -порожденную полугруппу многообразия \mathbf{V} будем обозначать как $F_n(\mathbf{V})$.

Натуральное число r называем рангом планарности многообразия \mathbf{V} полугрупп, если все $F_n(\mathbf{V})$ свободные в \mathbf{V} полугруппы ранга $n \leq r$ планарные (т. е. допускают планарные графы Кэли), а свободная в этом многообразии полугруппа ранга $r + 1$ не является планарной. В таком случае будем писать $r_\pi(\mathbf{V}) = r$. Если для многообразия \mathbf{V} такого натурального числа r не существует, то считаем, что многообразию \mathbf{V} имеет бесконечный ранг планарности и пишем $r_\pi(\mathbf{V}) = \infty$.

3 Основной результат

Пусть $N_n = \langle a \mid a^n = a^{n+1} \rangle$ – аperiодическая моногенная полугруппа порядка n , $Y_2 = \{0, 1\}$ – двухэлементная полурешетка, $C = \{0, ab, b\}$ – подполугруппа полугруппы Брандта $B_2 = \langle a, b \mid a^2 = b^2 = 0, aba = a, bab = b \rangle$, $L_n = \langle l_1, l_2, \dots, l_n \mid xy = x \rangle$ – полугруппа левых нулей порядка n , $\mathbb{Z}_n = \langle a \mid a^{n+1} = a \rangle$ – циклическая группа порядка n , S^1 – обозначает моноид, полученный из S присоединением нейтрального элемента. С одной стороны, многообразие, порожденное полугруппой S , обозначается через $\text{var } S$, с другой, – через $\text{var } \Sigma$ обозначается многообразие полугрупп, заданное системой тождеств Σ . Тогда, следуя [2, Таблица 2], будем придерживаться таких обозначений для 13 многообразий, порождаемых одной из 18 возможных полугрупп третьего порядка: $\text{var } N_2 = \text{var}\{xy \approx zt\}$; $\text{var } N_3 = \text{var}\{xyz \approx hkt, xy \approx yx\}$; $\text{var } N_2 \vee \text{var } Y_2 = \text{var}\{x^2y \approx xy, xy \approx yx\}$; $\text{var } Y_2 = \text{var}\{x^2 \approx x, xy \approx yx\}$; $\text{var } C = \text{var}\{xy^2 \approx xy, x^2y^2 \approx y^2x^2\}$; $\text{var } L_2 \vee \text{var } Y_2 = \text{var}\{x^2 \approx x, xyz \approx xzy\}$; $\text{var } N_2^1 = \text{var}\{x^3 \approx x^2, xy \approx yx\}$; $\text{var } Y_2 \vee \text{var } \mathbb{Z}_2 = \text{var}\{x^3 \approx x, xy \approx yx\}$; $\text{var } L_2^1 = \text{var}\{x^2 \approx x, yx \approx xy\}$; $\text{var } L_2 \vee \text{var } N_2 = \text{var}\{xyz \approx xy\}$; $\text{var } L_2 = \text{var}\{xy \approx x\}$; $\text{var } N_2 \vee \text{var } \mathbb{Z}_2 = \text{var}\{x^2yz \approx yz, xy \approx yx\}$; $\text{var } \mathbb{Z}_3 = \text{var}\{x^3y \approx y, xy \approx yx\}$. В свою очередь, многообразие, порожденное всеми полугруппами порядка 3 определяется следующей системой тождеств: $\mathbf{S}_3 = \text{var}\{x^8y \approx x^2y, xy^8 \approx xy^2, x^7yx \approx xyx^7 \approx xyx, xyx^6zx \approx xyzx, x^2yx \approx xyx^2, xyxzx \approx x^2yzx, xhyxty \approx xhxyty, xhyxy \approx xhxy^2, xyxty \approx x^2yty, xyxy \approx x^2y^2\}$ [2, Теорема 4.1].

Теорема 1.

$$\begin{aligned} r_\pi(\text{var } N_2) &= r_\pi(\text{var } L_2^1) = r_\pi(\text{var } L_2 \vee \text{var } N_2) = r_\pi(\text{var } L_2) = \infty; \\ r_\pi(\text{var } L_2 \vee \text{var } Y_2) &= 4; \\ r_\pi(\text{var } N_3) &= r_\pi(\text{var } N_2 \vee \text{var } Y_2) = r_\pi(\text{var } Y_2) = r_\pi(\text{var } C) = 3; \\ r_\pi(\text{var } N_2^1) &= r_\pi(\text{var } Y_2 \vee \text{var } \mathbb{Z}_2) = r_\pi(\text{var } N_2 \vee \text{var } \mathbb{Z}_2) = 2; \\ r_\pi(\text{var } \mathbb{Z}_3) &= r_\pi(\mathbf{S}_3) = 1. \end{aligned}$$

Доказательство. Доказательство осуществим в три этапа. На первом этапе приведем ссылки на ранее доказанные теоремы, в которых были

вычислены ранги планарности некоторых из рассматриваемых многообразий полугрупп. На втором этапе, изобразим плоские укладки основы графа Кэли свободной n -порожденной полугруппы оставшихся многообразий, при некотором фиксированном n , для доказательства того, что ранг планарности соответствующего многообразия не менее чем n . На третьем этапе, для доказательства того, что ранг планарности многообразия равен n , укажем в основе графа Кэли свободной $(n + 1)$ -порожденной полугруппы соответствующего многообразия подграф, гомеоморфный одному из графов Понтрягина-Куратовского.

1 этап. Бесконечность ранга планарности многообразия полугрупп с нулевым умножением, порождаемое полугруппой N_2 , показана в [3, Теорема 57]. Там же указан ранг планарности многообразия всех абелевых групп экспоненты три, равный $r_\pi(\text{var } \mathbb{Z}_3) = 1$. Далее, так как $\text{var } Y_2$ является многообразием коммутативных моноидов типа $(1, 1)$, то $r_\pi(\text{var } Y_2) = 3$ по данным из [3, Теорема 56]. В ходе доказательства [3, Теорема 63] не трудно было убедиться в том, что основа графа Кэли свободной n -порожденной полугруппы многообразия $\text{var } L_2 \vee \text{var } Y_2$, задаваемого тождеством $\overline{R}_2 = \overline{Q}_2$ в обозначениях из [3, Теорема 63, Рис.3], изоморфна объединению n копий $(n - 1)$ -мерного куба, поэтому $r_\pi(\text{var } L_2 \vee \text{var } Y_2) = 4$. Так как $\text{var } Y_2 \vee \text{var } \mathbb{Z}_2$ является многообразием коммутативных моноидов типа $(1, 2)$, то $r_\pi(\text{var } Y_2 \vee \text{var } \mathbb{Z}_2) = 2$ по данным из [3, Теорема 56].

Используя развитый в [4] инструментарий можно убедиться в том, что основа графа Кэли свободной полугруппы многообразия $\text{var } L_2^1$ является ациклическим графом, то есть лесом, следовательно, будет планарна относительно любого числа свободных образующих и $r_\pi(\text{var } L_2^1) = \infty$. В самом деле, количество элементов в n -порожденной свободной полугруппе многообразия $\text{var } L_2^1$ индуктивно вычисляется по формуле $n + n(n - 1) + n(n - 1)(n - 2) + \dots + n(n - 1) \cdot \dots \cdot 3 \cdot 2 + n! = \sum_{i=1}^n \prod_{j=n-i+1}^n j = e\Gamma(1 + n, 1) - 1 = -1 + e \int_1^\infty \frac{t^n}{e^t} dt$ и складывается из следующих слагаемых: первые n элементов это образующие, слова длины 1, которые можно расположить на 0-уровне деревьев леса, выбрав их в качестве корневых вершин; с каждым из n образующих в силу тождеств базисного набора $\{x^2 \approx x, xux \approx xy\}$ смежно по $(n - 1)$ вершин, слова длины 2, которые расположатся на 1-уровне деревьев, это формирует слагаемое $n(n - 1)$; и так далее, на каждом последующем уровне каждого дерева у каждой вершины располагается дочерних вершин на единицу меньше, чем было потомков на предыдущем уровне. При этом, зацикливания между уровнями и склеивания разных вершин на одном уровне исключены, так как тождества, выполняемые в рассматриваемом многообразии, могут укорачивать слова лишь на один символ, стоящий в начале слова. В бесконечности ранга планарности многообразия $\text{var } L_2 \vee \text{var } N_2$ можно убедиться аналогичным способом. Основа графа Кэли свободной полугруппы многообразия $\text{var } L_2 \vee \text{var } N_2$ является ациклическим графом, то есть лесом, в котором $n + n^2 = n(n + 1)$ вершин

n образующих из которых расположены на 0-уровне деревьев, а каждая из вершин 0-уровня соединена с n висячими вершинами 1-уровня, являющимися словами длины 2, следовательно, $r_\pi(\text{var } L_2 \vee \text{var } N_2) = \infty$. Наконец, бесконечность ранга планарности многообразия полугрупп левых нулей $r_\pi(\text{var } L_2) = \infty$ упомянута при доказательстве [3, Теорема 63].

2 этап. Плоская укладка основы графа Кэли 3-порожденной свободной полугруппы многообразия $\text{var } N_3 = \text{var}\{xyz \approx hkt, xy \approx yx\}$ представлена на Рис.1 слева. Плоская укладка основы графа Кэли 3-порожденной свободной полугруппы многообразия $\text{var } N_2 \vee \text{var } Y_2 = \text{var}\{x^2y \approx xy, xy \approx yx\}$ представлена на Рис.2 слева. Плоская укладка основы графа Кэли 3-порожденной свободной полугруппы многообразия $\text{var } C = \text{var}\{xy^2 \approx xy, x^2y^2 \approx y^2x^2\}$ представлена на Рис.3 слева. Плоская укладка основы графа Кэли 2-порожденной свободной полугруппы многообразия $\text{var } N_2^1 = \text{var}\{x^3 \approx x^2, xy \approx yx\}$ представлена на Рис.4 слева. Плоская укладка основы графа Кэли 2-порожденной свободной полугруппы многообразия $\text{var } N_2 \vee \text{var } \mathbb{Z}_2 = \text{var}\{x^2yz \approx yz, xy \approx yx\}$ представлена на Рис.5 слева. Заметим попутно, что из тождеств системы $\{x^2yz \approx yz, xy \approx yx\}$ вытекает тождество $x^2 \approx y^2$, которое используется при построении основы графа Кэли на Рис.5. В самом деле, $y^2 \approx x^2y^2 \approx y^2x^2 \approx x^2$.

3 этап. Подграф основы графа Кэли 4-порожденной свободной полугруппы многообразия $\text{var } N_4 = \text{var}\{xyz \approx hkt, xy \approx yx\}$ представлен на Рис.1 справа. Подграф основы графа Кэли 4-порожденной свободной полугруппы многообразия $\text{var } N_2 \vee \text{var } Y_2 = \text{var}\{x^2y \approx xy, xy \approx yx\}$ представлен на Рис.2 справа. Подграф основы графа Кэли 4-порожденной свободной полугруппы многообразия $\text{var } C = \text{var}\{xy^2 \approx xy, x^2y^2 \approx y^2x^2\}$ представлен на Рис.3 справа. Подграф основы графа Кэли 3-порожденной свободной полугруппы многообразия $\text{var } N_2^1 = \text{var}\{x^3 \approx x^2, xy \approx yx\}$ представлен на Рис.4 справа. Подграф основы графа Кэли 3-порожденной свободной полугруппы многообразия $\text{var } N_2 \vee \text{var } \mathbb{Z}_2 = \text{var}\{x^2yz \approx yz, xy \approx yx\}$ представлен на Рис.5 справа. Подграф основы графа Кэли 2-порожденной свободной полугруппы многообразия \mathbf{S}_3 представлен на Рис.6.

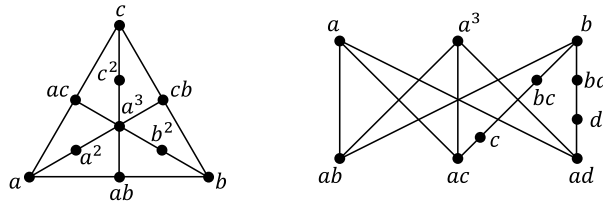


Рис. 1. Плоская укладка графа $SCay(F_3(\text{var } N_3), \{a, b, c\})$ и подграф графа $SCay(F_4(\text{var } N_3), \{a, b, c, d\})$, гомеоморфный графу $K_{3,3}$

Что и требовалось доказать.

□

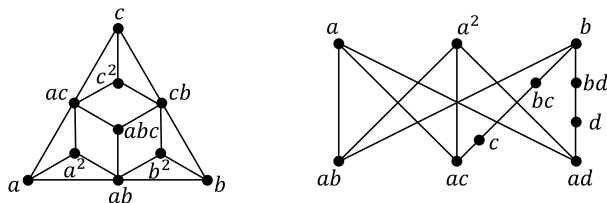


Рис. 2. Плоская укладка графа $SCay(F_3(\text{var } N_2 \vee \text{var } Y_2), \{a, b, c\})$ и подграф графа $SCay(F_4(\text{var } N_2 \vee \text{var } Y_2), \{a, b, c, d\})$, гомеоморфный графу $K_{3,3}$

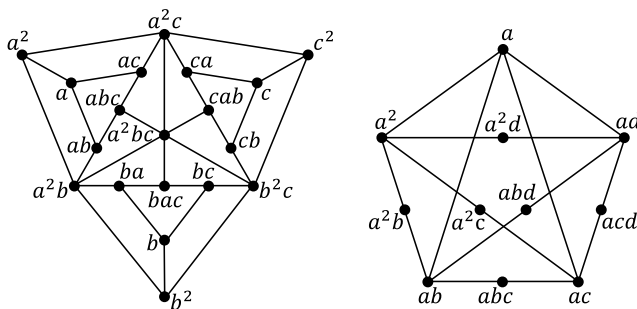


Рис. 3. Плоская укладка графа $SCay(F_3(\text{var } C), \{a, b, c\})$ и подграф графа $SCay(F_4(\text{var } C), \{a, b, c, d\})$, гомеоморфный графу K_5

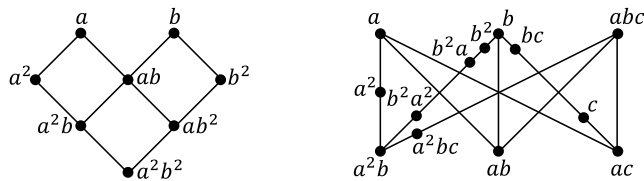


Рис. 4. Плоская укладка графа $SCay(F_2(\text{var } N_2^1), \{a, b\})$ и подграф графа $SCay(F_3(\text{var } N_2^1), \{a, b, c\})$, гомеоморфный графу $K_{3,3}$

Так как в исходном списке полугруппы представлены с точностью до антиизоморфизма (транспонирования таблицы умножения), то рассмотрим теперь вопрос планарности левых графов Кэли тех же полугрупп. Тогда будет учтено многообразие полугрупп правых нулей и другие оставшиеся не рассмотренными многообразия.

Для всякой полугруппы S через \overleftarrow{S} обозначим двойственную полугруппу, антиизоморфную полугруппе S . То есть такую, что существует биективное отображение $\varphi : S \rightarrow \overleftarrow{S}$, удовлетворяющее тождеству антигомоморфизма $\forall x, y \in S : \varphi(xy) = \varphi(y)\varphi(x)$. Ясно, что $S \cong \overleftarrow{\overleftarrow{S}}$.

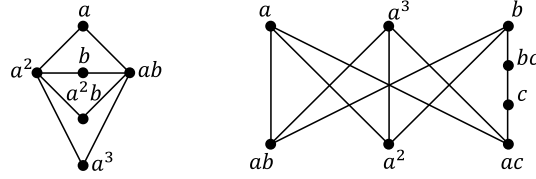


Рис. 5. Плоская укладка графа $SCay(F_2(\text{var } N_2 \vee \text{var } \mathbb{Z}_2), \{a, b\})$ и подграф графа $SCay(F_3(\text{var } N_2 \vee \text{var } \mathbb{Z}_2), \{a, b, c\})$, гомеоморфный графу $K_{3,3}$

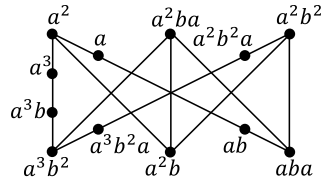


Рис. 6. Подграф графа $SCay(F_2(\mathbf{S}_3), \{a, b\})$, гомеоморфный графу $K_{3,3}$

В частности, $\overleftarrow{L}_n = \langle l_1, l_2, \dots, l_n \mid xy = y \rangle = R_n$ – полугруппа правых нулей порядка n .

Теорема 2.

$$r_\pi(\text{var } \overleftarrow{N}_2) = \infty;$$

$$r_\pi(\text{var } \overleftarrow{L}_2) = 4;$$

$$\begin{aligned} r_\pi(\text{var } \overleftarrow{N}_3) &= r_\pi(\text{var } \overleftarrow{N}_2 \vee \text{var } \overleftarrow{Y}_2) = r_\pi(\text{var } \overleftarrow{Y}_2) = \\ &= r_\pi(\text{var } \overleftarrow{C}) = r_\pi(\text{var } \overleftarrow{L}_2 \vee \text{var } \overleftarrow{Y}_2) = 3; \end{aligned}$$

$$\begin{aligned} r_\pi(\text{var } \overleftarrow{N}_2^1) &= r_\pi(\text{var } \overleftarrow{Y}_2 \vee \text{var } \overleftarrow{Z}_2) = r_\pi(\text{var } \overleftarrow{L}_2^1) = \\ &= r_\pi(\text{var } \overleftarrow{L}_2 \vee \text{var } \overleftarrow{N}_2) = r_\pi(\text{var } \overleftarrow{N}_2 \vee \text{var } \overleftarrow{Z}_2) = 2; \end{aligned}$$

$$r_\pi(\text{var } \overleftarrow{Z}_3) = r_\pi(\overleftarrow{\mathbf{S}}_3) = 1.$$

Доказательство. В первую очередь отметим, что для вычисления ранга планарности многообразия, состоящего из полугрупп двойственных к полугруппам некоторого многообразия, можно вместо правого графа Кэли строить левый граф Кэли свободной полугруппы исходного многообразия последовательно увеличивая количество образующих элементов. Принимая во внимание тот факт, что в коммутативном случае левый

граф Кэли совпадает с правым, сразу приходим к выводу: $r_\pi(\overleftarrow{\text{var } N_2}) = r_\pi(\text{var } N_2) = \infty$; $r_\pi(\overleftarrow{\text{var } N_3}) = r_\pi(\text{var } N_3) = 3$; $r_\pi(\overleftarrow{\text{var } N_2} \vee \overleftarrow{\text{var } Y_2}) = r_\pi(\text{var } N_2 \vee \text{var } Y_2) = 3$; $r_\pi(\overleftarrow{\text{var } Y_2}) = r_\pi(\text{var } Y_2) = 3$; $r_\pi(\overleftarrow{\text{var } N_2^1}) = r_\pi(\text{var } N_2^1) = 2$; $r_\pi(\overleftarrow{\text{var } Y_2} \vee \overleftarrow{\text{var } Z_2}) = r_\pi(\text{var } Y_2 \vee \text{var } Z_2) = 2$; $r_\pi(\overleftarrow{\text{var } N_2} \vee \overleftarrow{\text{var } Z_2}) = r_\pi(\text{var } N_2 \vee \text{var } Z_2) = 2$; $r_\pi(\overleftarrow{\text{var } Z_3}) = r_\pi(\text{var } Z_3) = 1$, – так как перечисленные многообразия коммутативны. Заметим, к такому же результату можно прийти если переписать все слова имеющихся тождеств в обратной последовательности букв и строить правые графы Кэли свободных полугрупп определяемых получившимися тождествами многообразий.

Докажем, что $r_\pi(\overleftarrow{\text{var } C}) = r_\pi(\text{var } C) = 3$. В самом деле, плоская укладка основы левого графа Кэли полугруппы $F_3(\text{var } C)$ представлена на Рис.7, а гомеоморфный графу $K_{3,3}$ подграф в основе левого графа Кэли полугруппы $F_4(\text{var } C)$, изоморфного правому графу Кэли 47-элементной двойственной полугруппы $F_4(\overleftarrow{\text{var } C})$, состоит из следующих попарно не пересекающихся маршрутов между вершинами множеств $\{a, a^2, b\}$ и $\{ca, ba, da\}$: $a - ca$; $a - ba$; $a - da$; $a^2 - ca$; $a^2 - ba$; $a^2 - da$; $b - cb - acb - bc - c - ac - aca - ca$; $b - ab - aba - ba$; $b - db - adb - bd - d - ad - ada - da$.

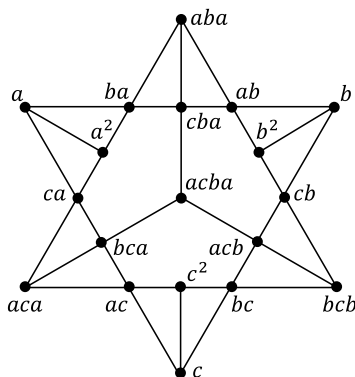


Рис. 7. Плоская укладка основы левого графа Кэли полугруппы $F_3(\text{var } C)$

Докажем теперь, что $r_\pi(\overleftarrow{\text{var } L_2} \vee \overleftarrow{\text{var } Y_2}) = r_\pi(\text{var } L_2 \vee \text{var } Y_2) - 1 = 3$. В самом деле, плоская укладка основы левого графа Кэли полугруппы $F_3(\text{var } L_2 \vee \text{var } Y_2)$ представлена на Рис.8, а гомеоморфный графу $K_{3,3}$ подграф в основе левого графа Кэли полугруппы $F_4(\text{var } L_2 \vee \text{var } Y_2)$, изоморфного правому графу Кэли 32-элементной двойственной полугруппы $F_4(\overleftarrow{\text{var } L_2} \vee \overleftarrow{\text{var } Y_2})$, состоит из следующих попарно не пересекающихся маршрутов между вершинами множеств $\{ab, ba, bca\}$ и $\{ca, cba, dba\}$:

$ab - b - cb - bc - c - ac - ca$; $ab - cba$; $ab - dba$; $ba - a - ca$; $ba - cba$; $ba - dba$;
 $bca - ca$; $bca - cba$; $bca - dcba - cdba - dba$.

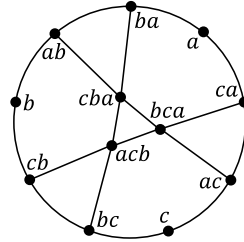


Рис. 8. Плоская укладка основы левого графа Кэли полугруппы $F_3(\text{var } L_2 \vee \text{var } Y_2)$

Аналогичным образом докажем и равенства $r_\pi(\text{var } \overleftarrow{L}_2^1) = r_\pi(\text{var } \overleftarrow{L}_2 \vee \text{var } \overleftarrow{N}_2) = 2$. В самом деле, плоская укладка основ левых графов Кэли полугруппы $F_2(\text{var } L_2^1)$ и полугруппы $F_2(\text{var } L_2 \vee \text{var } N_2)$ представлена на Рис.9, а гомеоморфный графу $K_{3,3}$ подграф в основе левого графа Кэли полугруппы $F_3(\text{var } L_2^1)$, изоморфного правому графу Кэли 15-элементной двойственной полугруппы $F_3(\text{var } \overleftarrow{L}_2^1)$, состоит из следующих попарно не пересекающихся маршрутов между вершинами множеств $\{ca, cab, cba\}$ и $\{ba, ca, acb\}$: $ca - a - ba$; $ca - bca$; $ca - ac - c - bc - cb - acb$; $cab - ab - ba$; $cab - bca$; $cab - acb$; $cba - ba$; $cba - bca$; $cba - acb$. В свою очередь, гомеоморфный графу $K_{3,3}$ подграф в основе левого графа Кэли полугруппы $F_3(\text{var } L_2 \vee \text{var } N_2)$, изоморфного правому графу Кэли 12-элементной двойственной полугруппы $F_3(\text{var } \overleftarrow{L}_2 \vee \text{var } \overleftarrow{N}_2)$, состоит из следующих попарно не пересекающихся маршрутов между вершинами множеств $\{a, ab, ac\}$ и $\{a^2, ba, ca\}$: $a - a^2$; $a - ba$; $a - ca$; $ab - a^2$; $ab - ba$; $ab - ca$; $ac - a^2$; $ac - ba$; $ac - ca$.

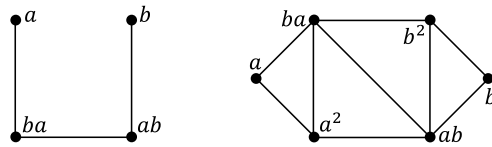


Рис. 9. Плоская укладка основ левого графа Кэли полугрупп $F_2(\text{var } L_2^1)$ [слева] и $F_2(\text{var } L_2 \vee \text{var } N_2)$ [справа]

Тот факт, что ранг планарности многообразия полугрупп правых нулей равен четырем известен давно [3, Теорема 63]. Остается заметить,

что $r_\pi(\overleftarrow{\mathbf{S}}_3) = r_\pi(\mathbf{S}_3) = 1$ потому, что гомеоморфный графу $K_{3,3}$ подграф в основе левого графа Кэли полугруппы $F_2(\mathbf{S}_3)$, изоморфного правому графу Кэли двойственной полугруппы $F_2(\text{var } \overleftarrow{\mathbf{S}}_3)$, состоит аналогично представленному на Рис.6 из следующих попарно не пересекающихся маршрутов между вершинами множеств $\{a^2, aba^2, b^2a^2\}$ и $\{b^2a^3, ba^2, aba\}$: $a^2 - a^3 - ba^3 - b^2a^3$; $a^2 - ba^2$; $a^2 - a - ba - aba$; $aba^2 - b^2a^3$; $aba^2 - ba^2$; $aba^2 - aba$; $b^2a^2 - ab^2a^2 - ab^2a^3 - b^2a^3$; $b^2a^2 - ba^2$; $b^2a^2 - aba$.

Что и требовалось доказать. \square

Следствие 1. *Ранг планарности многообразия порожденного полугруппами третьего порядка либо не превышает 4, либо бесконечен, в последнем случае это многообразие принадлежит множеству:*

$$\{\text{var } N_2, \text{var } L_2, \text{var } L_2 \vee \text{var } N_2, \text{var } L_2^1\}$$

4 Заключение

Результаты статьи прошли апробацию на конференции «Комбинаторно-вычислительные методы алгебры и логики», 15 июля - 19 июля, 2024, Омск, Россия, проводимой в Омском научном центре СО РАН и посвященной памяти В.А. Романькова, ранее исследовавшего регулярные замощения плоскости графами Кэли групп [5].

References

- [1] M. Petrich, *Introduction to Semigroups*, Merrill, Columbus, 1973.
- [2] Y. Luo, W. Zhang, *On the variety generated by all semigroups of order three*, Journal of Algebra, **334** (2011), 1–30.
- [3] D.V. Solomatin, *Researches of semigroups with planar Cayley graphs: results and problems*, Prikladnaya Diskretnaya Matematika, **54** (2021), 5–57.
- [4] A.L. Makariev, *On semigroups of idempotents with acyclic Cayley graphs*, Mathematics and computer science: science and education: interuniversity collection of scientific papers. Omsk: Omsk State Pedagogical University Publishing House, **6** (2007), 26–34.
- [5] V.A. Roman'kov, Zh.T. Belenkova, *Regular Cayley graphs*, Siberian mat. magazine. Deposited in VINITI, **802-B97** (1997), 1–37.

DENIS VLADIMIROVICH SOLOMATIN
 OMSK STATE PEDAGOGICAL UNIVERSITY,
 14, NABEREZHNYAYA TUKHACHEVSKOGO,
 644099, OMSK, RUSSIA
 Email address: denis_2001j@bk.ru